

浅水領域における圧力変換係数について

名古屋工業大学
名古屋工業大学大学院

正員 石田 昭
学員 ○ 春田 賢太郎

1. はしかき：浅海域での非線型波には、二次波峯現象とかSoliton分裂という非定形波現象が存在し、それらの水位変動の波数・周波数特性をこれまで調べてきた。ここでは、水位変動と圧力変動を同時に測定し、両方の波数・周波数スペクトルから圧力変換係数の式数・周波数特性を調べた。また、圧力変換係数を精度よく得るために、代表的成分波から構成する推算式を提案し、実験値と比較検討した。

2. 実験方法と解析方法：実験方法は、ほぼ従来どおりであり、実験条件は表-1に示す。水深(h)は15(m)と10(m)、周期(T)は1.34~

表-1

3.05、水深波長比(L/h)が0.0338~0.07である。波長は正確な測定が困難であるから、微小振幅波理論に基づき求めた値を使っている。表の中でXは二次波峯の発生間隔を示し、Hは平均波高である。波峯の数(Number of crest)は時間波形をみて最も多く分裂したときの波峯の数を示している。解析方法も、ほぼ従来と同じ方法を用いた。

3. 推算式の説明：浅水領域における圧力変換係数は場所的に変化しているので、推算式を次のように提案する。

(I)式=

$$\left. \begin{aligned} & B_1/A_{01} \cos(\theta_1, x - \theta_1 t) \\ & + B_2/A_{01} \cos(2\theta_1, x - 2\theta_1 t + \theta_{02}) \\ & + B_3/A_{01} \cos(3\theta_1, x - 3\theta_1 t + \theta_{03}) \\ & + B_4/A_{01} \cos((\theta_1 + \Delta\theta_1)x - \theta_1 t + \theta_{11}) \\ & + B_5/A_{01} \cos((2\theta_1 + \Delta\theta_1)x - 2\theta_1 t + \theta_{12}) \\ & + B_6/A_{01} \cos((3\theta_1 + \Delta\theta_1)x - 3\theta_1 t + \theta_{13}) \end{aligned} \right)$$

(II)式=

$$\left. \begin{aligned} & W_0(\theta_1, x - \theta_1 t) \\ & + A_{02}/A_{01} W_0(2\theta_1, x - 2\theta_1 t + \theta_{02}) \\ & + A_{03}/A_{01} W_0(3\theta_1, x - 3\theta_1 t + \theta_{03}) \\ & + A_{11}/A_{01} W_0((\theta_1 + \Delta\theta_1)x - \theta_1 t + \theta_{11}) \\ & + A_{12}/A_{01} W_0((2\theta_1 + \Delta\theta_1)x - 2\theta_1 t + \theta_{12}) \\ & + A_{13}/A_{01} W_0((3\theta_1 + \Delta\theta_1)x - 3\theta_1 t + \theta_{13}) \end{aligned} \right)$$

分裂する波峯が3つまでは $\theta_1 = \theta_{02} = \theta_1 = 0, \theta_2 = \theta_3 = \pi$
分裂する波峯が4つまでは $\theta_1 = \theta_{01} = 0, \theta_{13} = \theta_{12} = \theta_{03} = \pi$
時間と空間の取りかたは追い越し点の(Crest)に原点がくるようにとした。

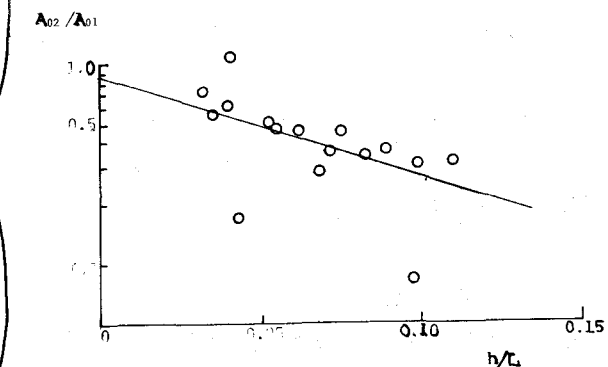


図-1.

$$\frac{P_{ij}}{P_0} = K_p = \frac{(I)式}{(II)式}$$

ここで、 A_{ij} は波形を構成する成分波の振幅を表し、 P_{ij} は圧力波形を構成する成分波の振幅を表している。それ故に A_{01} (基本成分波の振幅) で基準化した値は水深波長比の関数で表示することができる。

これまでに得られた値をも含めてプロットした一例が図-1、図-2であり、 $\exp(A+B\eta)$ の形になるよう最小自乗法で決

定した係数 A, B の値を表-2 に示してある。図中の実線はこのようにして決めた関係式を示している。この推算式は水底ごとの値を与えるだけのものである

こと、また厳密には水深波長比だけの関数ではなくて水深などによることによっても変化する筈であることなどから、今後の改良を必要とする。

4. 解析結果及び結論: A_{ij} と P_{ij} の解析結果は図-1, 2 に示すように、これまでに得られた値と同じ傾向を持っていた。本研究では、追い越し点、および発生点における時間波形を別個に収録し

それぞれの場所での波形と圧力の最大値の比を取って実験値と推算式による推算値と比較をしてみた。図-3 はこうした値と水底における微小振幅理論の圧力係数、 $K_p = 1/\sqrt{gh}(kh)$ をプロットしたものである。図をみると、追い越し点での推算値は微小振幅理論にはほぼ一致する傾向を示すが、発生点での推算値はやがて小さくなるので、微小振幅理論値を使って高さを求めるのは危険であることを示唆している。一方、実験値の方はデータのはらつきが大きく、測定精度に問題があることがわかるが、発生点の方が追い越し点より小さくなるという傾向だけは、推算値通りである。

また、実験値にはらつきが生じる原因は追い越し点、および発生点の決定方法にも問題があると思われる。最後に本研究の完成に際して多大の援助をしていただいた学部生、菅秀夫、鈴木直己両君に、感謝の意を表します。

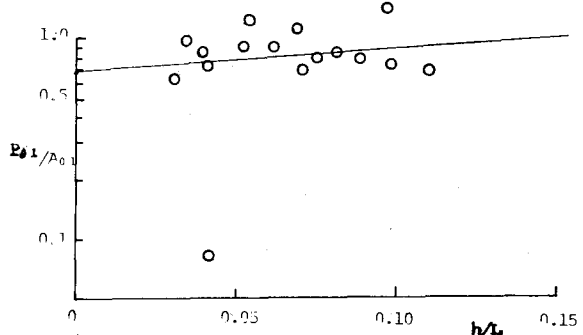
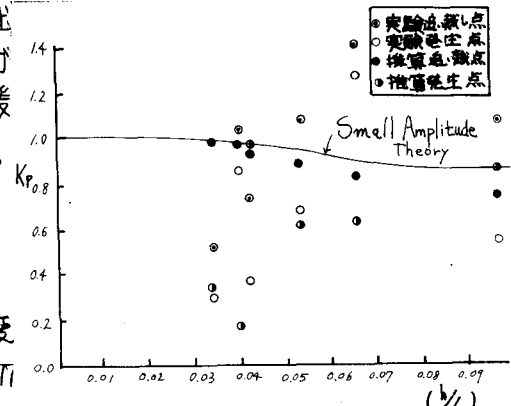


図-2 基本成分波の比で示した圧力係数

表-2

	A	B	A	B	
	X	X	P_{01}/A_{01}	-0.358	1.287
A_{02}/A_{01}	-0.128	-12.382	P_{02}/A_{01}	-0.118	-18.080
A_{03}/A_{01}	-1.448	-9.294	P_{03}/A_{01}	-0.761	-29.291
A_{11}/A_{01}	1.319	-43.735	P_{11}/A_{01}	1.609	-50.164
A_{12}/A_{01}	0.098	-25.442	P_{12}/A_{01}	-1.585	-13.834
A_{13}/A_{01}	-0.827	-22.274	P_{13}/A_{01}	-0.023	-46.010

図-3 推算値と実験値との比較



参考文献

- 1) 石田田、吉松邦明、: 二次波峰現象における圧力変換係数について: 第32回年次学術講演会講演論文集、1971
P. 39 ~40.